

VAR 시스템에 의한 3상 불평형 부하의 무효전력
보상에 관한 연구

정연택*, 서영수*, 김영봉**, 김한수**, 이봉주**
 *명지대 공대 전기공학과 교수, 공박 **명지대 대학원 전기공학과

A STUDY ON THE REACTIVE POWER COMPENSATION OF
THREE PHASE UNBALANCED LOAD FOR VAR SYSTEM

Yon-Taek Jung*, Young-Soo Seo*, Young-Bong Kim**, Han-soo Kim**, Bong-Joo Lee**
 Depart. of Electrical Eng. Myong-Ji University

ABSTRACT

In this paper, the way that input voltage and input line current as a control variable is provided as one unit is projected. Till now, have dealt with three phase balanced load. But, in that case, total power factor compensation is difficult, for to control each phase at unbalanced load. Therefore, in this paper suggest of the scheme that three phase unbalanced load is controlled by each phase and input total power factor is compensated unit input factor. therefore, in this paper suggest that three phase unbalanced load is controlled and the method in compensation of unit input factor to be attended by unbalanced load. Besides, the object of control is calculating quantity for input voltage and input line current for the point at issue make to improve of control method at unbalanced load. As a result, control system of each phase could maintain as a unit input total power factor has been state deviation error of 2% with unbalanced load.

1. 서 론

본 논문은 입력전압과 입력선전류를 제어변수로 하여 입력총합역률을 단위로 유지하는 방법을 연구했다. 지금까지는 평형부하를 다루워왔다. 그러나 불평형부하로 운전할 경우 상별제어에 문제가 대두되어 총합 역률보상에 어려움이 있게 된다. 따라서 본 논문은 3상 불평형부하를 각 상별로 제어하여 불평형에 따른 입력역률이 단위 입력 총합역률로 보상되는 방법을 제시하였다. 또한, 불평형부하에서 제어방법상의 문제점을 개선하기 위하여 입력선전류와 입력총합역률에 대하여 연산한 서센서스를 제어 대상으로 하였다. 그결과 부하의 불평형에 따른 3상의 제어 시스템이 정정상태변자 ±2% 오차를 갖는 단위 입력총합역률로 유지할 수 있었다.

2. 본 론

1. 제어 및 시스템 이론 해석

그림 2-1는 부하, 고정 캐퍼시터 및 TCR의 해석에 관한 회로도이다. 불평형 유도성 부하로 입력전원이 입력되며 고정 캐퍼시터(FC)단에서는 유도성 부하에 대하여 과보상을 할 수 있는 크기의 캐퍼시터가 투입된다. TCR단에서 요구되는 보상 리액턴스는 FC와 부하의 각 서센서스의 합에 대한 TCR의 서센서스 값과 같을 때

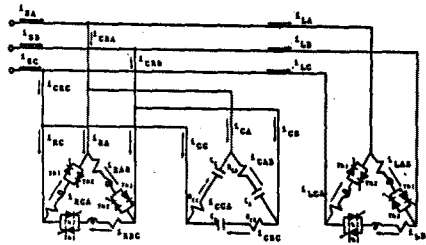


그림 2-1 시스템의 결선 Fig. 2-1 Connection of system

완전 보상이 될 수 있다. 본 논문에서 다른 무효전력 보상 방법은 3상 불평형 부하에 대하여 고정 캐퍼시터-다이리스터 제어용 가변 인덕터형(Thyristor controlled Reactor-Fixed Capacitor : TCR-FC) 무효전력 보상기를 이용하였다. 이 방법은 TCR방식에 고정 전력용 콘덴서를 별별 접속한 방식으로서 저상, 진상 무효전력 발생이 가능하고 조정이 연속적이기 때문에 본 방식을 선택했다. 각 구조에 대한 어드미턴스를 1상분에 대하여 표시하면 다음과 같다.

$$\begin{aligned} Y_L &= G_L - jB_L \\ Y_C &= G_C + jB_C \\ Y_R &= G_R - jB_R \end{aligned} \quad \text{--- 2-1}$$

여기서 Y_L 은 부하, Y_C 는 캐퍼시터, Y_R 는 TCR의 어드미턴스이다.

식 2-1에서 부하와 고정 캐퍼시터의 서센서스의 합이 TCR-FC 방식에서는 양의 값으로 된다. 부하와 고정 캐퍼시터의 서센서스의 합이 B이라하면

$$B_{CL} = B_C - B_L \quad \text{--- 2-2}$$

식 2-2의 B의 값이 TCR 서센서스 B과 같을 경우 무효전력이 "0"이 된다. 따라서 B를 B로 대치하여 TCR에 요구되는 가변리액터 값을 식 2-3 으로부터 식 2-4로 표현할 수 있다.

$$B_{CL} = \frac{B_C - B_L}{R^2 + wL^2} \quad \text{--- 2-3}$$

$$I_R = \frac{1 - \sqrt{1 - 4R^2 B_{CL}^2}}{2wB_{CL}} \quad \text{--- 2-4}$$

여기서 $w = 2\pi f$, $R = TCR$ 직렬저항

그림 2-2는 VAR 시스템의 각 그룹을 1상분에 대하여 표현한 것이다. 여기서 부하와 고정 캐퍼시터에서 발생하는 서센서스 즉 B_C 는 식 2-3에 의하여 TCR의 이상 다이리스터의 ON-OFF 작용에 의하여 리액터 L에 다이리스터 점호 젤스열을 가하여 리액티브 임피던스로

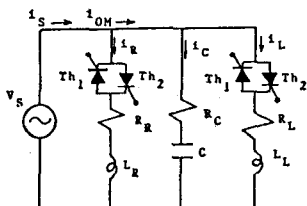


그림 2-2 1상분에 대한 등가 회로

Fig. 2-2 Equabance circuit of 1 phase

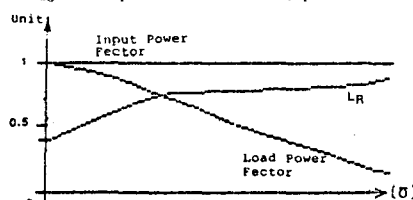


그림 2-3 서셉턴스의 변화에 따른 양자 및 TCR 리액티브 임피던스

Fig. 2-3 Power factor and TCR reactive impedance with vary of suseptance

가변하게 된다. 그림 2-3은 부하의 서셉턴스 B_L 에 대한, TCR 리액티브 임피던스의 변화에 따른 일력 총합역률이 보상 되는 과정을 나타내고 있다. 여기서 TCR 다이리스터 점호 펄스열에 가해지게 되는 점호각은 서셉턴스 연산기에서 구해진 각상의 불평형 서셉턴스 값에 대하여 식 2-3 및 2-4의 근거에 의하여 TCR 리액터 L_R 의 값으로 반환된다.

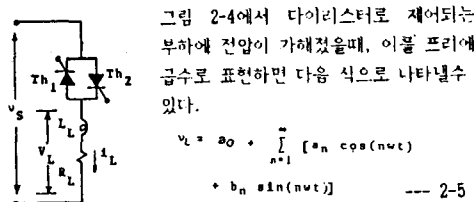


그림 2-4 부하

Fig. 2-4 Load 부하, FC, TCR 리액터 구성을 1

상분에 대하여 표시한 전류의 식은 식 2-6과 같다.

$$I_L = V_s / (C_L + jB_L) \quad \text{--- 2-6}$$

$$I_C = V_s / (C_C + jB_C) \quad \text{--- 2-6}$$

$$I_R = V_s / (R_C + jB_R) \quad \text{--- 2-6}$$

또한, 식 2-6의 전류에 대한 절대값은 식 2-7과 같다.

$$|I_L| = V_s / \sqrt{C_L^2 + B_L^2} \angle \theta_L \quad \text{--- 2-7}$$

$$|I_C| = V_s / \sqrt{C_C^2 + B_C^2} \angle \theta_C \quad \text{--- 2-7}$$

$$|I_R| = V_s / \sqrt{R_C^2 + B_R^2} \angle \theta_R \quad \text{--- 2-7}$$

부하 전류와 고정 캐퍼시터 전류의 합을 i_{on} 이라 하면 다음 식과 같이 나타낼 수 있다.

$$i_{on} = I_L + I_C \quad \text{--- 2-8}$$

$$= V_s / \sqrt{C_L^2 + B_L^2} \angle \theta_{CL} \quad \text{--- 2-8}$$

$$\theta_L = \tan^{-1}(B_L/C_L) \quad \text{--- 2-8}$$

$$\theta_C = \tan^{-1}(B_C/C_C) \quad \text{--- 2-8}$$

$$\theta_{CL} = \theta_C - \theta_L \quad \text{--- 2-8}$$

따라서, 입력전류는 다음 식과 같이 표현 할 수 있다.

$$i_s = i_{on} + i_R \quad \text{--- 2-9}$$

$$= V_s \sqrt{(C_{CL} + C_R)^2 + (B_{CL} + B_R)^2} \angle \theta_{CS} \quad \text{--- 2-9}$$

$$\text{여기서, } \theta_{CS} = \theta_S - \theta_{CL} - \theta_R \quad \text{--- 2-10}$$

$$\text{이때, } i_s = V_s (C_{CL} + C_R) + j(B_{CL} + B_R) \quad \text{--- 2-10}$$

$$P_s Q_s = i_s \frac{i_s}{C_0 + jB_0} \quad \text{--- 2-11}$$

$$\Delta i_s = \frac{(P_s C_0 - Q_s B_0) + j(P_s B_0 + Q_s C_0)}{i_s} \quad \text{--- 2-12}$$

이므로, 순시전력 P_s 는 다음 식과 같다.

$$P_s = v_s i_s = v_s^2 (C_{CL} + C_R) \quad \text{--- 2-13}$$

따라서,

$$P_s = V_s^2 (C_{CL} + C_R) \quad \text{--- 2-14}$$

$$Q_s = V_s^2 (B_{CL} - B_R) \quad \text{--- 2-15}$$

이때, 따라서 무효전력을 0으로 하기위해 식 2-19에서

$$0 = V_s^2 (B_{CL} - B_R) \quad \text{--- 2-16}$$

$$B_{CL} = B_R \quad \text{--- 2-17}$$

이때,

이때 식 2-17의 B_R 이 레귤레이터에서 보상 되어야 할 서셉턴스이다. 그림 2-5는 고정캐퍼시터(FC)와 부하전류의 합에 대한 진상역률을 때에 무효분을 갖는 일력역률각을 나타내며 이에대한 보상 서셉턴스 B_R 이 TCR 레귤레이터에 의해 보상되게 되는 과정을 보여준다.

따라서 이에 대한 보상 전류를 레귤레이터로 부입되는 등가전류로 나타내면 다음 식과 같다:

$$i_R = \sqrt{2} i_R \sin(\omega t - \theta_R) \quad \text{--- 2-18}$$

$$i_{on} = \frac{V_s}{B_R} \sin \frac{\omega t - \theta_R}{B_R} \quad \text{--- 2-19}$$

동가전류원이 동작한 후, 보상된 전력 P_{cs} 는 다음식과 같다.

그림 2-5 보상 벡터도

Fig. 2-5 Vector diagram

$$P_{cs} = v_s i_{on} + v_s i_R \quad \text{--- 2-20}$$

2. 보상 서셉턴스에 대한 이론

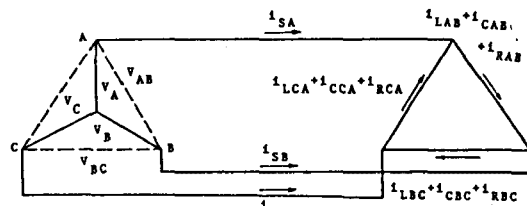


그림 2-8. 3상 부하 불평등 System의 계통도

Fig. 2-8. Var System of phase unbalance load

그림 2-8은 3상 시스템의 계통도로서 각 상전압과 선간전압은 식 2-21 및 2-22와 같다.

상전압

$$v_A = V_m \sin(\omega t + \pi/2) \quad \text{--- 2-21}$$

$$v_B = V_m \sin(\omega t - \pi/3) \quad \text{--- 2-21}$$

$$v_C = V_m \sin(\omega t - 2\pi/3) \quad \text{--- 2-21}$$

$$\begin{aligned} \text{선간전압 } & V_{AB} = \sqrt{3} V_m \sin \omega t \\ & V_{BC} = \sqrt{3} V_m \sin (\omega t - 2\pi/3) = 2-22 \\ & V_{CA} = \sqrt{3} V_m \sin (\omega t - 4\pi/3) \end{aligned}$$

따라서 선간전압과 선간 부하 전류를 식 2-23 및 2-24와 같이 놓을 수 있다.

$$\begin{aligned} \text{선간전압 } & V_{AB} = V_A - V_B = (1 - h^2) V \\ & V_{BC} = V_B - V_C = (h^2 - h) V \\ & V_{CA} = V_C - V_A = (h - 1) V \quad -- 2-23 \end{aligned}$$

$$\begin{aligned} \text{선간부하전류 } & I_{LA} = I_{LAB} = I_{LCA} = V_{AB} / Z_{AB} = V_{CA} / Z_{CA} \\ & I_{LB} = I_{LBC} = I_{LAB} = V_{BC} / Z_{BC} = V_{AB} / Z_{AB} = 2-24 \\ & I_{LC} = I_{LCA} = I_{LBC} = V_{CA} / Z_{CA} = V_{BC} / Z_{BC} \end{aligned}$$

또한 전류에 대한 일반식은 식 2-25과 같다.

$$I_o = |I_0| (\cos \theta_0 + j \sin \theta_0) \quad -- 2-25$$

식 2-24의 선간 부하전류에 대한 식을 식 2-25에 의하여 하수성분으로 표류하면 식 2-26과 같다.

$$\begin{aligned} I_m I_{LA} = I_m I_{LAB} = I_m I_{LCA} = B_{AB} V_{ab} - B_{CA} V_{CA} \\ I_m I_{LB} = I_m I_{LBC} = I_m I_{LAB} = B_{BC} V_{BC} - B_{AB} V_{AB} = 2-26 \\ I_m I_{LC} = I_m I_{LCA} = I_m I_{LBC} = B_{CA} V_{CA} - B_{BC} V_{BC} \end{aligned}$$

여기서 불평형부하의 보상서센턴스의 연결은 그림 2-9와 같다.

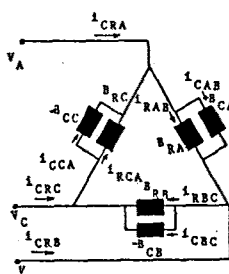


그림 2-9. 부하에 대한 보상 서센턴스의 연결
Fig. 2-9. Connection of Compensation Susceptance for Load

그림 2-9는 부하의 서센턴스량과 크기가 같고 역방향인 보상서센턴스를 연결한 회로이다. 이 보상서센턴스 회로가 고정 캐퍼시터와 TCR 터액터 회로가 된다. 이에대한 서센턴스의 식을 역변환에 의한 상좌표로 변환하면 식 2-27과 같이 선간 서센턴스 값으로 표현할 수 있다.

$$\begin{pmatrix} B_{AB} \\ B_{BC} \\ B_{CA} \end{pmatrix} = -1/3 V \begin{pmatrix} 1 & h & -h^2 \\ -1 & h & h^2 \\ 1 & -h & h^2 \end{pmatrix} \begin{pmatrix} I_m I_{LA} \\ I_m I_{LB} \\ I_m I_{LC} \end{pmatrix} \quad -- 2-27$$

식 2-27은 부하의 평면에서 선전류로 요구되는 보상서센턴스를 나타낸 식이다. 그림 2-10은 $\frac{1}{h}$ 이 $1/\sqrt{3}$ 보다 적은 범위에서 부하에 대한 백터도를 나타낸 그림이다. 그림 2-10의 (a)는 부하가 평행인 상태에서 부하의 각 선전류에 대하여 고정 캐퍼시터 전류가 부하에 대하여 과보상이 되면 과보상 된 그기만큼 역방향으로 TCR 터액터 전류로써 세이되어 단위역률로 보상되는 것을 나타낸 그림이다. 그림 2-10의 (b)는 (a)와 같은 방법으로서 불평형에 대한 보상 백터도를 나타낸 그림이다.

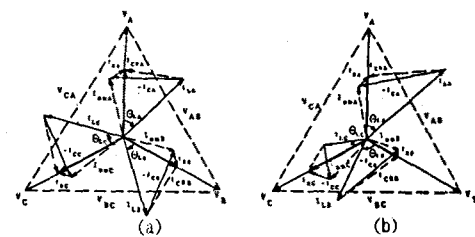


그림 2-10. 3상 결선의 보상 백터도

(a) 평형부하의 경우 (b) 불평형부하의 경우

Fig. 2-10. Vector Diagramme for Compensation of 3 phase Connection

(a) Balance Load (b) Unbalance Load

그림 2-11과 2-12는 불평형 부하일 경우 기준 입력전압에 대하여 피정시플레이션 한 것이다.

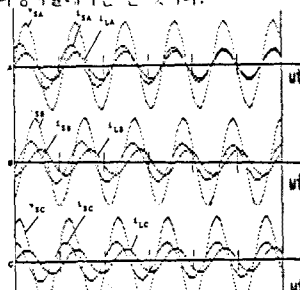


그림 2-11. 각상 악률이 1.95, .9 일 경우 입력전압, 입력전류의 파형

Fig. 2-11 Waveform of $\cos \phi = 1.95, .9$ for input voltage, input current

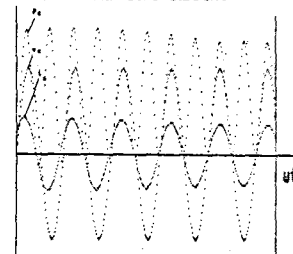


그림 2-12. 부하 악률이 .95인 경우 순시전력

Fig. 2-12 Instantaneous power at load power factor is .95

3. 시스템의 구조

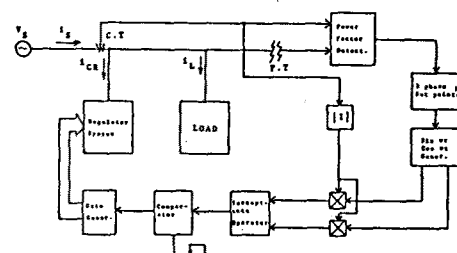


그림 2-13. 입력역률을 변수로 하는 보상서센턴스
제어 시스템

Fig. 2-13. Compensation Susceptance System by input power factor

그림 3-13은 입력액률을 변수로 하는 제어시스템의 블록도로서 기준 입력전압 $v_s(t)$ 과 비교 입력 전류 $i_s(t)$ 의 양의 기울기가 역률편차 비교기기에 가해진다. 역률편차 비교기에서 출력된 역률편차 비교량을 각 상의 서셉턴스량으로 변형시키기 위하여 $\sin\omega t$, $\cos\omega t$ 값으로 나타나고 이를 부하전류와 결합연산을 하여 보상서셉턴스 연산기에 가해진다. 이 보상 서셉턴스값은 게이트 발생기에 가해져 여기서 출력된 게이트 조작량이 페터레이터에 가해진다. 따라서, 페터레이터에 가해진 게이트 조작각에 의하여 다이리스터 스위치가 동작하여 리액티브 임피던스를 가변시키는 시스템이다. 그림2-14는 이에대한 제어 블록선도이다.

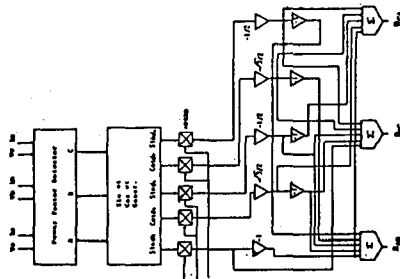


그림 2-14. 서셉턴스 연산 블록선도

Fig. 2-14. Operation block diagram of Compensation Susceptance

3. 실험 결과 및 고찰

그림 3-1은 입력전압과 다이리스터 제어각에 따른 선전류 $i_1(t)$ 파형을 1상분에 대하여 나타낸 파형이다.

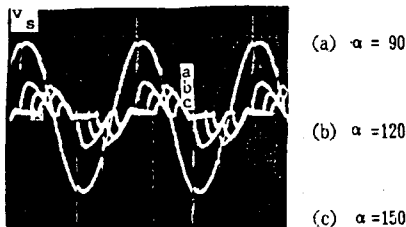


그림 3-2 제어각에 따른 TCR 레글레이터의 1상분에 대한 선전류의 파형

Fig. 3-2 Line current waveform of TCR current for 1 phase with controlled angle

그림 3-2은 입력전압 $v_s(t)$ 에대한 보상된 입력전류 $i_s(t)$ 를 나타낸 파형이다. 여기서 볼 수 있는 바와같이 부하에 대하여 TCR 레글레이터가 동작 되어서 입력 총합 역률이 단위 역률로 보상 됨음을 보여준다.

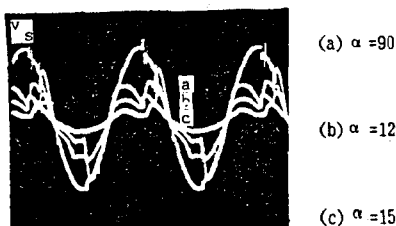
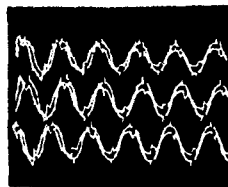
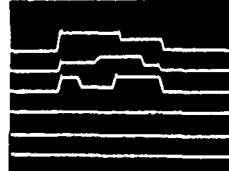
그림 3-2 입력전압 $v_s(t)$ 에 대한 보상된 입력전류 $i_s(t)$ 의 파형Fig. 3-2 Compensated waveform of input current $i_s(t)$ for input voltage

그림 3-3은 기준전압에 대한 입력전류의 시변파형이며 그림 3-4는 부하 변화에 따른 보상된 입력전류특성을 나타낸다.

그림 3-3 기준 전압에 대한 입력전류(is)의 시변파형
Fig. 3-3 Time variable waveform of input current그림 3-4 부하변동에 따른 입력 특성
Fig. 3-4 Input characteristics with load variation

4 결 론

본 논문에서 실증한 무효전력 보상장치는 고정 캐퍼시터와 다이리스터 위상 제어 리액터 (FC-TCR)을 사용하므로써, 무효전력을 전상에서 저상까지 연속적으로 제어할 수 있었고, 입력 역률을 제어변수로 하여 서셉턴스 이론을 도입한 3상 불평형 무효전력 보상 시스템을 제어할 수 있었다. 제어회로구성에 있어서 아날로그스위치들로 구성됨으로해서 신호 처리에 지연요소가 없이 실시간 제어에 우수한 특성을 나타냈다. 또한, 불평형 상태에서 각상별 제어에 문제점으로 제기되는 결심을 위하여 실험한 결과 세이기 정정 편차±2%정도의 오차를 갖는 단위 입력 역률을 유지할 수 있었다.

5 참고 문헌

- (1) K. Komatsugi, T. Iimura, "Harmonic Current Compensator composed of static power convertor" IEEE PESC Record, pp. 283 - 290, 1986
- (2) S. Nakomishi, "Analysis and Control Characteristics of thyristor and thyrode controllers with Purely Resistive Load" IEEE Trans. on PAS, Vol. PAS - 272, No.3, 1986
- (3) Laszlogyugyi, "Reactive Power Generation and Control by thyristor Circuits" IEEE Trans. Vol. IA - 15, No.5, Septem./oct. 1978
- (4) W. Shepherd, P. Zakhian, "Power factor correction in nonsinusoidal systems by the use of Capacitance", J. phys. D. Appl. phys, Vol. 6, pp. 1850 - 1861, 1973
- (5) "Sibliography of static VAR Compensators working group 79.2 on static VAR Compensators in A.C Substations of the IEEE Substation Committee" M. M. Gaurilovic IEEE trans. on PAS Vol pas - 102, No.12, 1983
- (6) J. G. deoliveria, L. G. de. O. Origa, J. W. Resende, J. R. Cogo "Phase - Control and Three-Phase harmonic Calculations for Thyristor controlled Reactor Compensations" IFAC control in power Electronics and Electrical Drive Lausanne, Switzerland, pp. 739 - 734, 1983.
- (7) 서 영수, "무효전력보상과 그 장치" 전기설비, 5월 - 11월 특집, 1985